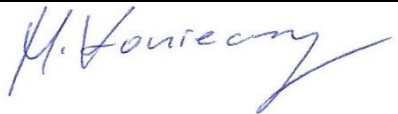




SPRAWOZDANIE NR OS/0466/23

Z POMIARÓW NATĘŻENIA PÓL ELEKTROMAGNETYCZNYCH

WYKONANYCH DLA CELÓW OCHRONY ŚRODOWISKA

Miejsce wykonania badania: <small>(dane uzyskane od zleceniodawcy)</small>		JRS7103A 37-522 Piwoda, dz. nr 736/112, pow. jarosławski, woj. PODKARPACKIE
Współrzędne geograficzne:		50°04'35.29"N 22°45'53.55"E
Data wykonania pomiarów:		20.10.2023
Data wydania sprawozdania:		23.10.2023
Zleceniodawca:		P4 sp. z o.o. ul. Wynałazek 1 02-667 Warszawa
Sprawozdanie sporządził:	Maciej Konieczny	
Sprawozdanie autoryzował:	Wojciech Lubiński	

1. INFORMACJE O UŻYTKOWNIKU

1.1. Zleceniodawca: P4 sp. z o.o. ul. Wynalazek 1, 02-667 Warszawa

1.2. Charakterystyka obiektu:

- **Typ obiekt:** Instalacja radiokomunikacyjna zainstalowana na wieży kratowej
- **Numer obiektu:** JRS7103A
- **Adres obiektu:** 37-522 Piwoda, dz. nr 736/112, pow. jarosławski, woj. PODKARPACKIE
- **Współrzędne geograficzne:** 50°04'35.29"N 22°45'53.55"E

2. CHARAKTERYSTYKA ŹRÓDEŁ PEM (dane pozyskane od Klienta)

Tabela 1. Parametry systemu nadawczo-odbiorczego

Charakterystyka promieniowania					kierunkowa				
Rzeczywisty czas pracy [h/dobę]					Całodobowa 24h				
Warunki pracy					Znamionowe				
Rodzaj wytwarzanego pola					stacjonarne				
Lp.	Typ nadajnika	Antena Producent / Typ	Azymut [°]	Wysokość środk elektr. anteny [m n.p.t.]	Pasmo [Mhz]	Kąt nachylenia [°]	EIRP dla anteny [W]	LON	LAT
1	RBS6xxx/2xxx/4xxx	Huawei ADU4518R7	45	53	800	0 - 12	9581	22°45'53.55"E	50°04'35.29"N
	RBS6xxx/2xxx/4xxx				1800	2 - 12		22°45'53.55"E	50°04'35.29"N
	RBS6xxx/2xxx/4xxx				2100	2 - 12		22°45'53.55"E	50°04'35.29"N
2	RBS6xxx/2xxx/4xxx	Huawei ADU4518R7	45	53	800	0 - 12	9581	22°45'53.55"E	50°04'35.29"N
	RBS6xxx/2xxx/4xxx				1800	2 - 12		22°45'53.55"E	50°04'35.29"N
	RBS6xxx/2xxx/4xxx				2100	2 - 12		22°45'53.55"E	50°04'35.29"N
3	RBS6xxx/2xxx/4xxx	Huawei A704516R0	45	53,1	900	0 - 12	1607	22°45'53.55"E	50°04'35.29"N
4	RBS6xxx/2xxx/4xxx	Huawei ADU4518R7	180	53	800	0 - 12	9581	22°45'53.55"E	50°04'35.29"N
	RBS6xxx/2xxx/4xxx				1800	2 - 12		22°45'53.55"E	50°04'35.29"N
	RBS6xxx/2xxx/4xxx				2100	2 - 12		22°45'53.55"E	50°04'35.29"N
5	RBS6xxx/2xxx/4xxx	Huawei ADU4518R7	180	53	800	0 - 12	9581	22°45'53.55"E	50°04'35.29"N
	RBS6xxx/2xxx/4xxx				1800	2 - 12		22°45'53.55"E	50°04'35.29"N
	RBS6xxx/2xxx/4xxx				2100	2 - 12		22°45'53.55"E	50°04'35.29"N
6	RBS6xxx/2xxx/4xxx	Huawei A704516R0	180	53,1	900	0 - 12	1607	22°45'53.55"E	50°04'35.29"N
7	RBS6xxx/2xxx/4xxx	Huawei ADU4518R7	280	53	800	0 - 12	9581	22°45'53.55"E	50°04'35.29"N
	RBS6xxx/2xxx/4xxx				1800	2 - 12		22°45'53.55"E	50°04'35.29"N
	RBS6xxx/2xxx/4xxx				2100	2 - 12		22°45'53.55"E	50°04'35.29"N
8	RBS6xxx/2xxx/4xxx	Huawei ADU4518R7	280	53	800	0 - 12	9581	22°45'53.55"E	50°04'35.29"N
	RBS6xxx/2xxx/4xxx				1800	2 - 12		22°45'53.55"E	50°04'35.29"N
	RBS6xxx/2xxx/4xxx				2100	2 - 12		22°45'53.55"E	50°04'35.29"N
9	RBS6xxx/2xxx/4xxx	Huawei A704516R0	280	53,1	900	0 - 12	1607	22°45'53.55"E	50°04'35.29"N

Tabela 2. Parametry radiolinii

Charakterystyka promieniowania				kierunkowa					
Rzeczywisty czas pracy [h/dobę]				24					
Rodzaj wytwarzanego pola				stacjonarne					
Linia radiowa				Antena					
Lp	Typ nadajnika	Częstotliwość pracy [GHz]	Moc wyjściowa [dBm]	Typ/producent	Średnica anteny [m]	Azymut [°]	Wysokość zainstal. [m]	LON	LAT
1	OPTIX RTN/HUAWEI	23	21	0.6-23(VHLPX2-23)	0,6	217	51	22°45'53.5 5"E	50°04'35.2 9"N

Inne źródła PEM: W obszarze pomiarowym badanego obiektu **nie występują** inne źródła promieniowania pola elektromagnetycznego, które w zakresie badanych częstotliwości bezpośrednio wpływają na wynik wartości mierzonej natężenia pola.

3. OPIS POMIARÓW

Cel badań: Sprawdzenie dotrzymania dopuszczalnych poziomów pól elektromagnetycznych, w otoczeniu instalacji wytwarzających takie pola.

3.1. Data pomiarów: 20.10.2023

3.2. Nazwiska osób wykonujących pomiary: Bartosz Piotrowski

3.3. Osoba towarzysząca: brak

3.4. Aparatura pomiarowa:

Tabela 3. Opis zestawu pomiarowego

Nazwa	Typ/model	Numer fabryczny/SN	Świadectwo wzorcowania	Zastosowanie
Szerokopasmowy miernik natężenia pola elektromagnetycznego	NBM- 520	D-2228	LWiMP/W/088/22 z dnia 19.05.2022 (Laboratorium Wzorców i Metrologii Pola Elektromagnetycznego Instytutu Telekomunikacji, Teleinformatyki i Akustyki Politechniki Wrocławskiej)	Pomiary pola elektromagnetycznego
Sonda pomiarowa pola elektrycznego	EF-9091	A-0139		
Szerokopasmowy miernik natężenia pola elektromagnetycznego	NBM- 520	D-2188	LWiMP/W/56/23 z dnia 17.02.2023 (Laboratorium Wzorców i Metrologii Pola Elektromagnetycznego Instytutu Telekomunikacji, Teleinformatyki i Akustyki Politechniki Wrocławskiej)	
Sonda pomiarowa pola elektrycznego	EF-0691	J-0214		
Termohigrometr	ETI 600 224-600	D22060186	LPTW/326/2022 z dnia 10.05.2022 (LPTW)	Pomiary wilgotności względnej powietrza Pomiary temperatury powietrza
Dalmierz laserowy	PLR30C	221208895	45854/1 /2022 z dnia 17.05.2022 (Laboratorium pomiarowe LABOTRONIC)	Pomiar odległości
Odbiornik GPS	Garmin GLO2	1792A-A1156/SPS066633	-	Pomiar współrzędnych geograficznych

3.5. Wyznaczenie niepewności pomiarów:

Ocenę niepewności przyjmuje się zgodnie z procedurą stosowaną w laboratorium.

Wyznaczona rozszerzona niepewność pomiaru dla współczynnika rozszerzenia $k = 2$ dla zestawu pomiarowego z pkt.3.5 w dniu pomiaru wynosi 21,46%.

3.6. Kryteria przedstawiania stwierdzeń zgodności

Niniejsze sprawozdanie zgodnie z zasadami systemu akredytacji zawiera stwierdzenia zgodności.

W przypadku badań poziomów pola elektromagnetycznego w środowisku stwierdzenie zgodności dotyczy rozstrzygnięcia, czy zmierzona wartość opisująca pole elektromagnetyczne przekracza wartość dopuszczalną dla zakresu częstotliwości, w którym pracują źródła podaną w Rozporządzeniu Ministra Zdrowia z dnia 17 grudnia 2019 r. w sprawie dopuszczalnych poziomów pól elektromagnetycznych w środowisku (Dz. U. z 2019 r. poz. 2448).

3.7. Metodyka wykonania pomiarów:

Zastosowano metodę znormalizowaną w oparciu o Rozporządzenie Ministra Klimatu i Środowiska z dnia 6 maja 2022 r. zmieniające rozporządzenie w sprawie sposobów sprawdzania dotrzymania dopuszczalnych poziomów pól elektromagnetycznych w środowisku (Dz.U. 2022 poz. 1121).

3.8. Przepisy prawne:

- Ustawa z dnia 27 kwietnia 2001 r. Prawo ochrony środowiska (Dz. U. 2022 poz. 2556).
- Rozporządzenie Ministra Zdrowia z dnia 17 grudnia 2019 r. w sprawie dopuszczalnych poziomów pól elektromagnetycznych w środowisku (Dz. U. z 2019 r. poz. 2448).
- Rozporządzenie Ministra Klimatu z dnia 17 lutego 2020 r. w sprawie sposobów sprawdzania dotrzymania dopuszczalnych poziomów pól elektromagnetycznych w środowisku Załącznik do obwieszczenia Ministra Klimatu i Środowiska z dnia 21 listopada 2022 r. (Dz. U. poz. 2630)

3.9. Opis pomiarów

Stacja bazowa JRS7103A usytuowana jest na wieży kratowej zlokalizowanej pod adresem 37-522 Piwoda, dz. nr 736/112, pow. jarosławski, woj. PODKARPACKIE. Anteny i moduły RRU zamontowane są na antenowych konstrukcjach wsporczych a urządzenia są w szafie APM zainstalowanej u podnóża wieży. W otoczeniu stacji zlokalizowana jest zabudowa jednorodzinna oraz pola uprawne. Analiza parametrów technicznych wykazała, że urządzenia nadawcze stacji pracują w paśmie częstotliwości zgodnie z tabelą 1 oraz tabelą 2. Moc wyjściowa nadajników doprowadzona jest do anten przy pomocy ekranowanych fiderów.

Pomiary w otoczeniu Stacji bazowej wykonano wzdłuż kierunków maksymalnego zasięgu oddziaływania pola elektromagnetycznego na azymucie anten sektorowych do odległości określonej zgodnie z wytycznymi zawartymi w instrukcji wykonywania pomiarów, w godzinach od 13:15 do 14:00, podczas rzeczywistej pracy urządzeń wytwarzających pola elektromagnetyczne. Pomiary wykonano dla średniego pochylenia wiązki liczonego jako średnia arytmetyczna z minimalnej i maksymalnej wartości stosowanego lub planowanego kąta pochylenia

Pomiary w przyjętych pionach pomiarowych wykonano w punktach położonych na wysokościach od 0,3 m do 2,0 m nad powierzchnią ziemi lub nad innymi powierzchniami, na których mogą przebywać ludzie, przyjmując za wynik pomiaru maksymalny poziom natężenie pól elektromagnetycznego.

Przy doborze pionów pomiarowych uwzględniono charakter i sposób zagospodarowania terenu otaczającego stację bazową.

3.10. Warunki meteorologiczne / środowiskowe:

Miejsce pomiaru	Temperatura (Minimalna/Maksymalna) [°C]	Wilgotność (Minimalna/Maksymalna) [%]	Opady atmosferyczne
Ulica	16,6/16,8	66,9/67,3	nie wystąpiły

3.11. Sposób identyfikacji widma częstotliwości:

Parametry stacji bazowej uzyskane od właściciela instalacji stacji bazowej.

4. WYNIKI POMIARÓW

Wyniki pomiarów ważne są jedynie dla danej konfiguracji urządzeń w dniu, w którym wykonano pomiary.

Wynik pomiaru, to maksymalna wartości chwilowa zmierzona w danym pionie pomiarowym powiększona o rozszerzoną niepewność pomiaru U dla współczynnika rozszerzenia $k = 2$.

Tabela 3. Dopuszczalne poziomy pól elektromagnetycznych

Parametr fizyczny Zakres częstotliwości pola elektromagnetycznego	Składowa elektryczna	Składowa magnetyczna
od 400 MHz do 2000 MHz	$1,375 \times f^{0,5}$ V/m	$0,00375 \times f^{0,5}$ A/m
Od 2 GHz do 300 GHz	61 V/m	0,16 A/m

Do wyznaczania wartości wskaźnikowych WM_E i WM_H przyjęto najniższe wartości dopuszczalne poziomów pól elektromagnetycznych w/w zakresach częstotliwości.

Tabela 4. Wyniki pomiarów

Nr pionu	Opis miejsca pomiaru	Pomiar wewnątrz pomieszczenia	Współrzędne geograficzne		Wynik poniżej progu detekcji*	E_p [V/m]	U [V/m]	$E_p + U$ [V/m]	H [A/m]	WME	WMH	Przekroczenie wartości dopuszczalnej
			[°] N	[°] E								
1	Poziom gruntu - oś głównej wiązki anteny sektorowej azymut 180st	NIE	50,075929162	22,764718534	TAK	<0,80	0,18	0,98	0,003	0,04	0,035	nie przekracza
2	Poziom gruntu - oś głównej wiązki anteny sektorowej azymut 180st	NIE	50,075442140	22,764719951	TAK	<0,80	0,18	0,98	0,003	0,04	0,035	nie przekracza
3	Poziom gruntu - oś głównej wiązki anteny sektorowej azymut 180st	NIE	50,074838033	22,764707040	NIE	0,93	0,20	1,13	0,003	0,04	0,041	nie przekracza
4	Poziom gruntu - oś głównej wiązki anteny sektorowej azymut 180st	NIE	50,074232082	22,764730515	TAK	<0,80	0,18	0,98	0,003	0,04	0,035	nie przekracza
5	Poziom gruntu - oś głównej wiązki anteny sektorowej azymut 180st	NIE	50,073651393	22,764720470	TAK	<0,80	0,18	0,98	0,003	0,04	0,035	nie przekracza
6	Poziom gruntu - oś głównej wiązki anteny radioliniowej azymut 217st	NIE	50,076122263	22,764415504	TAK	<0,80	0,18	0,98	0,003	0,04	0,035	nie przekracza

Nr pionu	Opis miejsca pomiaru	Pomiar wewnątrz pomieszczenia	Współrzędne geograficzne		Wynik poniżej progu detekcji*	E _p [V/m]	U [V/m]	E _p + U [V/m]	H [A/m]	WME	WMH	Przekroczenie wartości dopuszczalnej
			[°] N	[°] E								
7	Poziom gruntu - oś głównej wiązki anteny radioliniowej azymut 217st	NIE	50,075792701	22,764007060	TAK	<0,80	0,18	0,98	0,003	0,04	0,035	nie przekracza
8	Poziom gruntu - oś głównej wiązki anteny sektorowej azymut 280st	NIE	50,076495753	22,763968320	TAK	<0,80	0,18	0,98	0,003	0,04	0,035	nie przekracza
9	Poziom gruntu - oś głównej wiązki anteny sektorowej azymut 280st	NIE	50,076565945	22,763130794	TAK	<0,80	0,18	0,98	0,003	0,04	0,035	nie przekracza
10	Poziom gruntu - oś głównej wiązki anteny sektorowej azymut 280st	NIE	50,076673526	22,762256087	NIE	0,93	0,20	1,13	0,003	0,04	0,041	nie przekracza
11	Poziom gruntu - oś głównej wiązki anteny sektorowej azymut 280st	NIE	50,076776049	22,761417108	TAK	<0,80	0,18	0,98	0,003	0,04	0,035	nie przekracza
12	Poziom gruntu - oś głównej wiązki anteny sektorowej azymut 280st	NIE	50,076876705	22,760477607	TAK	<0,80	0,18	0,98	0,003	0,04	0,035	nie przekracza
13	Poziom gruntu - oś głównej wiązki anteny sektorowej azymut 45st	NIE	50,076746861	22,765288913	TAK	<0,80	0,18	0,98	0,003	0,04	0,035	nie przekracza
14	Poziom gruntu - oś głównej wiązki anteny sektorowej azymut 45st	NIE	50,077220573	22,766053880	TAK	<0,80	0,18	0,98	0,003	0,04	0,035	nie przekracza
15	Poziom gruntu - oś głównej wiązki anteny sektorowej azymut 45st	NIE	50,077596765	22,766566788	NIE	0,94	0,21	1,15	0,003	0,04	0,041	nie przekracza
16	Poziom gruntu - oś głównej wiązki anteny sektorowej azymut 45st	NIE	50,077992180	22,767266791	TAK	<0,80	0,18	0,98	0,003	0,04	0,035	nie przekracza
17	Poziom gruntu - oś głównej wiązki anteny sektorowej azymut 45st	NIE	50,078403696	22,767859205	TAK	<0,80	0,18	0,98	0,003	0,04	0,035	nie przekracza
18	Poziom gruntu - pomocniczy pion pomiarowy	NIE	50,076900041	22,767476955	TAK	<0,80	0,18	0,98	0,003	0,04	0,035	nie przekracza
19	Poziom gruntu - pomocniczy pion pomiarowy	NIE	50,075345020	22,767103179	TAK	<0,80	0,18	0,98	0,003	0,04	0,035	nie przekracza
20	Poziom gruntu - pomocniczy pion pomiarowy	NIE	50,074807579	22,762850896	TAK	<0,80	0,18	0,98	0,003	0,04	0,035	nie przekracza
21	Poziom gruntu - pomocniczy pion pomiarowy	NIE	50,075873941	22,762078969	TAK	<0,80	0,18	0,98	0,003	0,04	0,035	nie przekracza
22	Poziom gruntu - pomocniczy pion pomiarowy	NIE	50,077765267	22,762798758	TAK	<0,80	0,18	0,98	0,003	0,04	0,035	nie przekracza
23	Poziom gruntu - pomocniczy pion pomiarowy	NIE	50,078342633	22,764775315	TAK	<0,80	0,18	0,98	0,003	0,04	0,035	nie przekracza

Objaśnienia:

$$E_p: E_{poprawne} = E_{wskazane} * C_{d(E)} * C_{f(f)}$$

U - rozszerzona niepewność pomiaru dla współczynnika rozszerzenia $k=2$ (poziom ufności 95%) – $U = k \times U_c$

H – wyznaczona wartość natężenia pola magnetycznego z uwzględnieniem współczynnika korekcyjnego oraz rozszerzonej niepewności pomiaru.

WM_E - wartość wskaźnikowa poziomu oddziaływania pól elektromagnetycznych dla miejsc dostępnych dla ludności dla składowej elektrycznej pola.

WM_H - wartość wskaźnikowa poziomu oddziaływania pól elektromagnetycznych dla miejsc dostępnych dla ludności dla składowej magnetycznej pola.

* Wynik poniżej progu detekcji - wartość zmierzona poniżej zakresu akredytacji. Do obliczeń przyjęto wartość zgodną z dolną granicą akredytowanego zakresu pomiarowego metody.

5. WNIOSKI

Stwierdza się, iż na podstawie uzyskanych wyników pomiarów i informacji uzyskanych od operatora, w otoczeniu stacji bazowej telefonii komórkowej JRS7103A w miejscach dostępnych dla ludności, w których dokonano pomiaru, nie zostały przekroczone wartości graniczne poziomów pól elektromagnetycznych określonych w Rozporządzeniu Ministra Zdrowia z dnia 17 grudnia 2019 r. w sprawie dopuszczalnych poziomów pól elektromagnetycznych w środowisku (Dz. U. z 2019 r. poz. 2448).

Stwierdzenie zgodności zostało przedstawione na podstawie wyników badań oraz informacji uzyskanych od klienta (za które Laboratorium nie ponosi odpowiedzialności) dla instalacji opisanej w punkcie 2. Stwierdzenia zgodności dokonano na podstawie zasady podejmowania decyzji i wymagań zawartych w załączniku do Rozporządzenia Ministra Klimatu z dnia 17 lutego 2020 r. w sprawie sposobów sprawdzania dotrzymania dopuszczalnych poziomów pól elektromagnetycznych w środowisku (Dz.U. 2022 poz. 2630 z 15.12.2022r.).

■ Sprawozdanie zawiera 8 stron

■ załączniki: nr 1 – mapa z rozmieszczeniem pionów pomiarowych wokół obiektu

Bez pisemnego zezwolenia laboratorium Eko-Connect sprawozdanie nie może być powielane inaczej, jak tylko w całości.

■ Otrzymują:

1. Zleceniodawca: - 1 egz.
2. a / a: 1 egz.

Koniec sprawozdania

